ИНЖЕНЕРНЫЙ ВЕСТНИК

Издатель ФГБОУ ВПО "МГТУ им. Н.Э. Баумана". Эл No. ФС77-51036. ISSN 2307-0595

К вопросу о расчете гидропневматических рессор

11, ноябрь 2015

Верещака В. А.

УДК 62-522.2

Россия, МГТУ им. Н.Э. Баумана publications-rk3@yandex.ru

Введение

Применение гидропневматических рессор (ГПР) в системе подвески большегрузных автомобилей высокой проходимости (БАВП) позволяет существенно повысить плавность хода этих транспортных средств, проходимость, среднюю скорость их движения и долговечность, снизить затраты на горючее [1,2,3].

Работа ГПР в системе подвески БАВП имеет ряд особенностей, главным образом связанных с термодинамическим характером процессов, протекающих в изменяющемся объеме газа, заключенного в ГПР. Эти особенности необходимо учитывать при расчете характеристик и конструктивных элементов ГПР, а также плавности хода БАВП.

Изучению рабочих процессов в ГПР и их расчету посвящен ряд работ [1,2]. Характерным для большинства из них является использование в качестве исходного - уравнения, описывающего политропный процесс, что значительно упрощает расчеты [2]:

$$pv^n = const \tag{1}$$

Более точные результаты дает использование уравнения 1-го закона термодинамики и теплопередачи в дифференциальной форме [3]:

$$ART\frac{dv}{v} + c_v dT = \lambda c_v (T_{o\kappa p} - T) dt.$$
 (2)

ГПР телескопического типа имеет, как правило, встроенный гидравлический амортизатор, в результате работы которого, происходит нагрев жидкости, находящейся в ГПР. Часть тепла от жидкости передается газу, а на штоке ГПР происходит суммирование усилий, развиваемых упругим и гасящим устройствами. Указанные особенности необходимо учитывать при расчете динамических характеристик ГПР.

Уравнение (2) позволяет учесть основные факторы, влияющие на рабочие процессы в ГПР, а его решение дает возможность определить изменение величины давления жидкости над поршнем с учетом этих факторов [3]:

$$p = \frac{F}{c_{o}^{*}} \frac{dx}{dt} + p_{o} \varepsilon^{k} e^{-\lambda t} \left\{ e^{\frac{\Delta c_{o}}{c_{v}}} + \frac{1}{T_{o}} \left[T_{o\kappa p} + \frac{Ak_{aM}V_{cp}^{2}}{Gc_{v}\lambda} + \frac{A\Delta L_{mp}}{Gc_{v}\lambda} \right] \varepsilon_{cp}^{1-k} (e^{\lambda t} - 1) \right\},$$
(3)

где λ - коэффициент, учитывающий теплопередачу в ГПР; k- коэффициент теплопередачи от газа в окружающую среду; G - масса рабочего тела; c_v - теплоемкость при v=const; ε - степень сжатия газа в ГПР; Δs_y - изменение энтропии эквивалентного термодинамического процесса; $T_{o\kappa p}$ - температура окружающей среды; V_{cp} - средняя скорость поршня ГПР; $\Delta L_{\rm TP}$ - работа трения в цилиндре ГПР; T_0 - температура газа при t=0; p_0 - давление газа при t=0; p - давление жидкости над поршнем; t- текущее время; k=1,41; e=2,718; A=1/427; $c_{\ddot{a}}^*$ - гидравлическая проводимость дросселя ГПР.

Анализируя уравнение (3), можно отметить, что величина первого члена правой части зависит от скорости перемещения поршня ГПР. При его перемещении по гармоничному закону, принимая жидкость несжимаемой и пренебрегая деформациями корпуса ГПР, можно считать, что объем жидкости, вытесняемой поршнем, равен объему жидкости, поступающей в газовый баллон, то есть объем газа также изменяется по гармоничному закону. Тогда, принимая $x = x_0 \sin \omega t$, первый член правой части уравнения (3) можно записать как:

$$\frac{F}{c_n^*} \cdot \frac{dx}{dt} = \frac{F}{c_n^*} \cdot \omega \cdot \cos \omega t \tag{4}$$

а переменный параметр ε 2-го члена правой части:

$$\varepsilon = \frac{V_0}{V_0 - \Delta V} = \frac{V_0}{V_0 - F \cdot x_0 \cdot \sin \omega t}.$$
 (5)

Подставляя выражения (4) и (5) в уравнение (3), можно получить выражение, характеризующее изменение давления жидкости над поршнем ГПР, то есть дает возможность построить и исследовать характеристики ГПР при различных исходных параметрах.

При наличии дросселирования жидкости процесс изменения величины давления газа p^* в баллоне ГПР происходит с запаздыванием по отношению к перемещению поршня. При отсутствии дросселирования при гармоническом законе перемещения поршня максимальное значение p^* будет при $\omega t = \frac{\pi}{2}$. В случае установки на пути жидкости дросселирующей системы, как это обычно имеет место в ГПР телескопического типа, происходит запаздывание.

Применяя методы сложения графиков гармонических функций, можно записать следующее выражение:

$$p^{*}(t) = \sqrt{p_{0}^{2} + \frac{F^{2}x_{0}^{2}\omega^{2}}{(c_{d}^{*})^{2}}} \cdot \sin\left[\omega t + arctg\left(-\frac{Fx_{0}\omega}{c_{d}^{*}p_{0}}\right)\right].$$
 (6)

Проведенные расчеты для ГПР с симметричной характеристикой амортизатора показали, что величина запаздывания для каждой конструкции ГПР телескопического типа зависит от сопротивления амортизатора, частоты колебаний и величины давления газа в баллоне, то есть от зарядного давления. Результаты расчетов приведены в таблице 1.

При расчетах принималось: $F=0{,}00636~{\rm M}^2,\,x_0=0{,}05~{\rm M}.$ Из таблицы, где значениям угла запаздывания φ_1^0 соответствует $c_{\delta}^*=20$, а $\varphi_2^0-c_{\delta}^*=200$, видно, что величина запаздыва-

ния убывает с увеличением давления газа в ГПР при всех значениях $c_{\ddot{a}}^*$, что можно объяснить уменьшением разницы между значениями p(t) и $p^*(t)$.

p_0	25			50			100		
ω	5,24	7,34	9,43	5,24	7,34	9,43	5,24	7,34	9,43
$\boldsymbol{\omega}^0$	75	82	84	60	65	71	39	52	55

7.5

25

18

 φ_2^0

35

Таблица 1. Результаты расчета ГПР симметричной характеристикой амортизатора

14.5

24,5

4,5

4,8

8.1

Были проведены стендовые испытания ГПР телескопического типа со встроенным амортизатором, при которых фиксировались процессы изменения давления газа, давления жидкости над поршнем и перемещения поршня. Данные, полученные в результате испытаний, в сравнении с расчетными приведены в таблице 2.

3,06 Диаметр Степень 1,53 сжатия дросселя, M^2 5.3 8.06 13.1 5,3 8,06 13.1 ω , ce κ^{-1} 84 39 75 82 52 58 $\varphi_{0\,pac4}$ 79 100 69 57 73 92 φ_{0 $_{9\kappa cn}}$ 0,0035 1,24 0,18 - 0,53 0,61 0,4 0,37 n_{ycn} 6,49 2,75 0,18 2,32 1,57 3,64 λ_0 18 25 46 7,5 18 34 $\varphi_{0\,pac4}$ 42 29 29 76 51 69 $arphi_{0$ эксп 0.008 0,42 1,03 1,83 1,18 0,51 0,71 n_{ycn} 3,95 0,11 1,79 4,12 2,89 4,73 λ_0

Таблица 2. Результаты испытаний ГПР

Из таблицы видно, что характер изменения расчетных и экспериментальных данных совпадает, а расхождение в абсолютных величинах можно объяснить принятыми допущениями. Приведенные значения показателя политропы получены по результатам эксперимента.

Анализ полученных результатов показывает, что использование уравнения политропного процесса фактически ограничивает изучение рабочих процессов в ГПР лишь работой упругого устройства и не может быть использовано даже для обработки данных эксперимента в случае исследования ГПР телескопического типа со встроенным амортизатором. В то же время определение величины коэффициента λ_0 , учитывающего теплопередачу в пневморессоре, не представляет затруднений (2). Величины λ_0 приведены в таблице 2.

Таким образом, для оценки нагрузочных характеристик ГПР со встроенным амортизатором и определения их конструктивных размеров следует использовать решение дифференциального уравнения, составленного на основе 1-го закона термодинамики и теплопередачи.

Представляется целесообразным производить оценку влияния различных источников тепла и теплопередачи с окружающей средой путем сравнения процесса изменения давления газа в ГПР с адиабатным, особенно при полной деформации ГПР, то есть при помощи величины $\Delta = p/p_0 \cdot \varepsilon^k$, характер изменения которой определяется расчетным путем. При этом установлено, что величина Δ может быть, как меньше, так и больше 1, то есть рабочие процессы газа в ГПР в исследуемом диапазоне частот колебаний, условий теплопередачи и степеней сжатия могут происходить как с отводом, так и с подводом тепла к газу (рис. 1). Кроме того, величина коэффициента Δ характеризует динамическую энергоемкость подвески. Установлено, что величина Δ возрастает с увеличением частоты колебаний, а увеличение степени сжатия газа вызывает уменьшение величины Δ .

Подвод тепла, связанный с работой встроенного гидравлического амортизатора, вызывает увеличение коэффициента Δ на 5...20% в зависимости от частоты колебаний и условий теплопередачи. При расчетах величина трения внутри цилиндра ГПР принималась постоянной.

Влияние встроенного гидравлического амортизатора на динамические характеристики ГПР проявляется также в создаваемом им перепаде давлений жидкости вследствие дросселирования. Усилие на штоке ГПР и, следовательно, ее характеристики зависят от давления жидкости над поршнем.

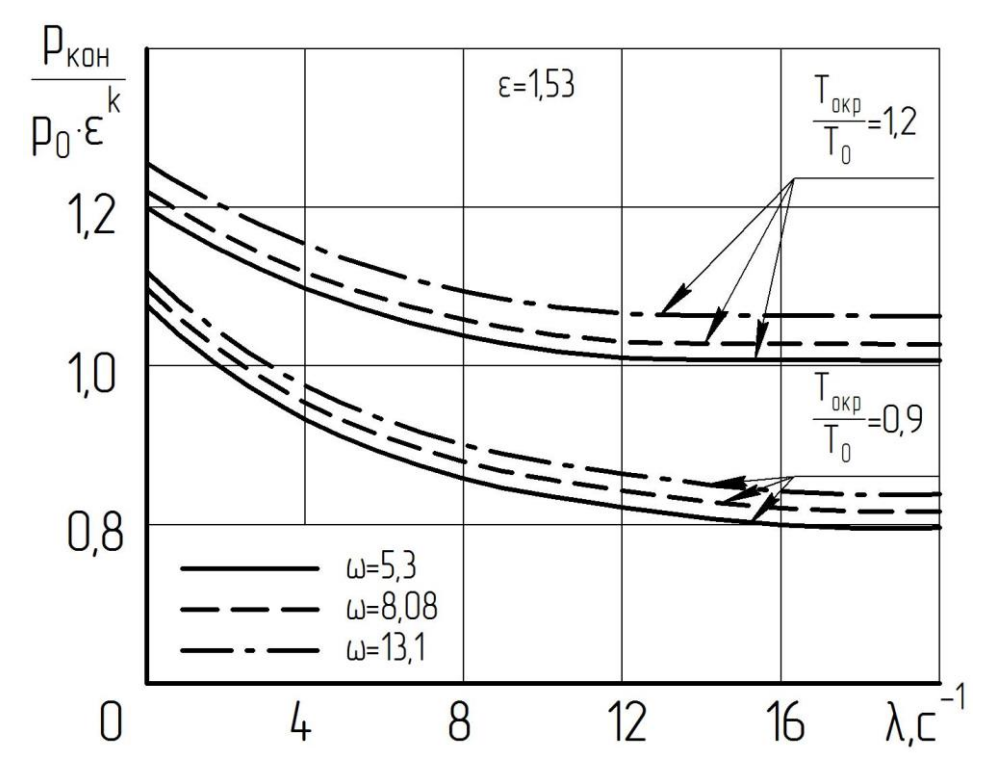


Рис. 1. К изменению давления газа в ГПР

Работа ГПР в реальных дорожных условиях характеризуется рядом специфических режимов. К их числу можно отнести: движение по дороге с неровностями небольшой высоты, восприятие ударных нагрузок, преодоление отдельных значительных неровностей, изменение внешних атмосферных условий. Для каждого режима работы наибольшее значение приобретают определенные параметры ГПР, по которым и должен вестись расчет.

Большое значение имеет правильный выбор конструктивных размеров ГПР, обеспечивающих выполнение предъявляемых к системе подвески требований. Одним из основных параметров ГПР является объем газа при статической нагрузке V_0 , который определяет частоту собственных колебаний подрессоренной массы и, как следствие, плавность хода БАВП. Из выражения:

$$\lambda_0 = \frac{k \frac{p_0}{V_0} + \left(\frac{\Delta p}{\Delta V}\right)_0}{p_0 \left(\frac{\Delta V}{\Delta t}\right)^{-1} \left(1 - \frac{T_{i \hat{e} \hat{o}}}{T_0}\right)},\tag{7}$$

и с учетом:

$$c_0 = F^2 \left(\frac{dp}{dV}\right)_0,\tag{8}$$

можно определить жесткость ГПР при положении, соответствующем статической нагрузке:

$$c_0 = p_0 F^2 \left[-\frac{k}{V_0} - \lambda \left(\frac{dV}{dt} \right)^{-1} \left(1 - \frac{T_{o\kappa p}}{T_0} \right) \right], \tag{9}$$

откуда:

$$V_{0} = \frac{p_{0}kF^{2}}{c_{0} - \frac{\lambda}{V_{i}} p_{0}F^{2} \left(1 - \frac{T_{i\hat{e}\hat{o}}}{T_{0}}\right)},$$
(10)

где
$$V_i = \frac{dV}{dt}$$
.

Величинами λ_0 , V_n , $\frac{T_{osp}}{T_0}$ для расчета задаются на основе предварительных экспериментов при соответствующих режимах работы.

Таким образом, при определении конструктивных размеров ГПР имеется возможность учитывать основные факторы, влияющие на ее работу: действие встроенного гидравлического амортизатора, трение между подвижными деталями, теплообмен с окружающей средой.

Заключение

В результате проведенных исследований установлено, что характер термодинамических процессов, происходящих в объеме газа, заключенного в ГПР, зависит не только от теплообмена с окружающей средой, но и от подвода тепла вследствие работы встроенного гидравлического амортизатора и взаимного трения деталей в ГПР.

Наличие термодинамических процессов в ГПР показывает, что понятие жесткости для ГПР достаточно условное.

Влияние теплообмена с окружающей средой, встроенного гидравлического амортизатора, трения деталей в ГПР, необратимых внутренних потерь энергии — целесообразно оценивать коэффициентами λ_0 и $c_{\ddot{a}}^*$.

Эффект встроенного гидравлического амортизатора сказывается также в появлении запаздывания процесса изменения давления газа по отношению к процессу перемещения поршня ГПР. Величина запаздывания увеличивается с повышением частоты колебаний и лежит в диапазоне от 0° до 100° . С увеличением зарядного давления газа — величина угла запаздывания уменьшается.

Список литературы

- [1]. Белоусов Б.Н., Попов С.Д. Колесные транспортные средства особо большой грузоподъемности. Конструкция. Теория. Расчет. / Под общ. Ред. Б.Н. Белоусова. М.: Издво МГТУ им Н.Э. Баумана. 2006. 729 с.
- [2]. Жилейкин М.М., Котиев Г.О., Сарач Е.Б. Экспериментальное исследование нагрузочных характеристик двухкамерной пневмогидравлической рессоры подвески автомобильных платформ нового поколения средней и большой грузоподъемности // Наука и образование. Электронное издание МГТУ им Н.Э. Баумана. 2011. №12. Режим доступа: http://technomag.edu.ru/doc/346642.html (дата обращения 07.11.2015)
- [3]. Жилейкин М.М., Котиев Г.О., Сарач Е.Б. Методика расчета характеристик пневмогидравлической управляемой подвески с двухуровневым демпфированием многоосных колесных машин // Наука и образование. Электронное издание МГТУ им Н.Э. Баумана. 2012. №1. Режим доступа http://technomag.edu.ru/doc/346660.html (дата обращения 07.11.2015).